



شبیه‌سازی عددی یک میکرومیکسر L شکل و بررسی اثر تغییرات پارامترهای هندسی بر عملکرد آن

پروانه زارع^۱، شهرام طالبی^{۲*}

۱- کارشناس ارشد، مهندسی مکانیک، دانشگاه یزد، یزد

۲- دانشیار، مهندسی مکانیک، دانشگاه یزد، یزد

* یزد، صندوق پستی 8915818411

چکیده

به دلیل تکنولوژی ساخت و پیاده‌سازی آسان میکرومیکسرهای منفعل در یک سیستم میکروسیالی پیچیده، در این مطالعه یک نوع میکرومیکسر منفعل بررسی شده است. میکرومیکسرهای منفعل با افزایش سطح تماس دو سیال و کاهش فاصله پخش مولکولی، میزان اختلاط را افزایش می‌دهند. در مطالعه حاضر تحلیل عددی یک L میکرومیکسر به منظور بررسی رفتار اختلاط و مشخصه‌های جریان سیال به ازای تغییرات پارامترهای هندسی کلیدی در چهار عدد رینولدز مختلف انجام شده است. سه پارامتر هندسی بی بعد طول نرمال، نسبت طول و نسبت ابعاد تعیف شده‌اند. شبیه‌سازی‌ها در عدد اشمیت 900.18 انجام شده است، همچنین عدد رینولدز در محدوده بین 50 تا 200 انتخاب شده است. از یک شاخص اختلاط برای ارزیابی رفتار اختلاط در میکروکانال استفاده شده است. صحت شبیه‌سازی انجام شده، با مقایسه نتایج کار حاضر با نتایج مطالعات معتبر دیگران به اثبات رسیده است. نتایج نشان می‌دهد که شاخص اختلاط و افت فشار در یک کانال مارپیچ به تعییر پارامترهای هندسی میکروکانال حساس هستند، و به ازای اعداد رینولدز مختلف رفتار متفاوتی را نشان می‌دهند. علاوه بر این به دلیل تعییر جهت‌های تند 90° در میکروکانال، نیروی گریز از مرکز برای ایجاد گردابه به اندازه کافی بزرگ است که منجر به جابه‌جایی نامنظم می‌شود.

اطلاعات مقاله

مقاله پژوهشی کامل

دریافت: 13 آذر 1395

پذیرش: 28 بهمن 1395

ارائه در سایت: 22 اسفند 1395

کلید واژگان:

شبیه‌سازی عددی

میکرومیکسر

شاخص اختلاط

افت فشار

L شکل

Numerical simulation of an L-shaped micromixer and investigation of the effect of variations of geometrical parameters on its performance

Parvaneh Zare¹, Shahram Talebi^{1*}

1- Department of Mechanical Engineering, Yazd University, Yazd, Iran.
* P.O.B. 8915818411, Yazd, Iran, talebi_s@yazd.ac.ir

ARTICLE INFORMATION

Original Research Paper
Received 03 December 2016
Accepted 16 February 2017
Available Online 12 March 2017

Keywords:
Numerical simulation
Micromixer
Mixing index
Pressure drop
L-shaped

ABSTRACT

Due to easy manufacturing technology and implementation of passive micromixers in a complex microfluidic system, in this study, a type of passive micromixer has been investigated. Passive micromixers increase the mixing rate by increasing the contact surface of two fluids and reducing the distance of molecular diffusion. In the present study, numerical analysis of an L-micromixer has been performed to investigate the mixing behavior and characteristics of fluid flow with changes in key geometrical parameters at four Reynolds numbers. Three non-dimensional geometrical parameters, i.e., normalized length (ZR), length ratio (LR), and aspect ratio (AR) have been defined. Simulations have been performed at the Schmidt number of 900.18. The Reynolds number has also been selected in the range of 50 to 200. A mixing index has been used to quantify mixing behavior in the microchannel. The accuracy of the simulation has been proved by comparing current results with the results of other valid studies. The results reveal that mixing index and pressure drop in a serpentine channel are sensitive to the changes of geometric parameters of the microchannel, and show different behavior at various Reynolds numbers. Furthermore, due to the sharp 90° turns in the microchannel, the inertial force is large enough to cause vortices, which leads to chaotic advection.

را پوشش داده است. اختلاط به فرآیند تعییر یک سیستم غیرهمگن به یک سیستم همگن^۲ گفته می‌شود. اغالب اختلاط بخشی از فرآیندهای شیمیایی و فیزیکی است. اختلاط می‌تواند با توجه به ترکیب‌های مختلف بین فازهای گاز، مایع و جامد صورت گیرد. عملیات اختلاط معمولاً به منظور مخلوط یک

در دهه گذشته شاهد افزایش کاربردهای فناوری میکروسیالی^۱ در شیمی تجزیه و تولید مواد شیمیایی بوده‌ایم. علم و فناوری سیستم‌های میکروسیالی طیف وسیعی از مطالعات بنیادی تا کاربردهای واقعی در صنعت و آزمایشگاه‌ها

۱- مقدمه

² Homogeneous

¹ Microfluidic

برای ارجاع به این مقاله از عبارت ذیل استفاده نمایید:

P. Zare, Sh. Talebi, Numerical simulation of an L-shaped micromixer and investigation of the effect of variations of geometrical parameters on its performance, *Modares Mechanical Engineering*, Vol. 17, No. 3, pp. 293-304, 2017 (in Persian)

برای دستیابی به اختلاط احتیاج دارند [۳]. میکرومیکسرهای فعال برای افزایش بازده اختلاط منکری بر محركهای خارجی از جمله اختلاف فشار، دما، میدان مغناطیسی و الکتریکی است. این میکرومیکسرها قابلیت بسیار عالی در اختلاط سیال دارند. مشکلات موجود در ساخت میکرومیکسرهای فعال و اتصال آن‌ها به دستگاه‌های تجزیه و تحلیل سبب شده امروزه به طور گسترده از میکرومیکسرهای منفعت استفاده شود؛ زیرا نیازی به سیستم‌های پیچیده جهت افزایش بازده اختلاط ندارند. میکرومیکسرهای منفعت با ایجاد جریان ناظم با استفاده از موانع، تفکیک جریان به جریان‌های کوچک‌تر و یا تغییر شکل کanal اختلاط سبب افزایش سطح تماس دو سیال و در نتیجه آن افزایش بازده اختلاط می‌شوند [۴]؛ بنابراین بررسی جریان درون کanal‌های پیچیده میکرومیکسرهای منفعت و ارزیابی اثر پارامترهای هندسی مختلف بر عملکرد اختلاط دارای اهمیت است. این مطالعات در طراحی تجهیزات میکروسیالی قوی مفید خواهد بود.

لیو و همکاران [۵] با استفاده از محلول فنول فتالئین و محلول سدیم هیدروکسید^{۱۷} در یک آزمایش تجربی، به بررسی عملکرد اختلاط میکرومیکسرهای سه‌بعدی با سه هندسه کanal مارپیچ سه‌بعدی، کanal موجی مربعی و کanal مستقیم در اعداد رینولذ ۶-۷۰ پرداخته‌اند. آن‌ها نشان داده‌اند که در این محدوده از عدد رینولذ میکروکanal مارپیچ سه‌بعدی نسبت به دو میکروکanal دیگر عمل اختلاط را بهتر انجام داده است. کاناریس و همکاران [۶] طرح‌های شش میکروکanal شامل T میکرومیکسر، هندسه مارپیچ متعامد ساده، C میکرومیکسر، L میکرومیکسر، هندسه مارپیچ انحنای روى یک صفحه و هندسه مارپیچ انحنای روى دو صفحه موازی را به طور عددی بررسی کرده‌اند. آنها مشاهده کردند که میکرومیکسر L شکل با تفاوت کمی نسبت به میکرومیکسر C شکل و هندسه مارپیچ انحنای روى دو صفحه موازی عملکرد اختلاط بهتری داشته است. افزل و کیم [۷] یک میکرومیکسر منفعت با کanal همگرا- و اگرا با تغییرات سینوسی ارائه کرده‌اند. آن‌ها مشاهده کردند که در محدوده اعداد رینولذ ۱۰-۷۰ میکرومیکسر با دامنه بزرگ‌تر دیواره کanal، جریان ثانویه قوی‌تر و عملکرد اختلاط بهتری را داشته است. وانگ و همکاران [۸] اختلاط در یک پیکربندی به شکل درخت را به طور عددی و تجربی بررسی کرده‌اند. آن‌ها نتیجه گرفتند که افزایش عدد رینولذ و تعداد شاخه‌ها سبب بهبود عملکرد اختلاط می‌شود. سلحاتی و همکاران [۹] طرح میکروکanal با ساختار موجی را ارائه کرده‌اند. به دلیل حضور جریان ثانویه متناوب و در نتیجه آن رژیم جریان ناظم عمل اختلاط در این میکروکanal نسبت به کanal مستقیم بهتر انجام شده است.

با هری اسلامی و احمدی [۱۰] به بررسی تأثیر هندسه‌های مختلف بر میزان اختلاط در ۹ میکرومیکسر منفعت با سرعت‌های نوسانی جریان ورودی پرداخته‌اند. نتایج نشان داده است که شاخص اختلاط در میکرومیکسرهایی که جریان در کanal اختلاط را به چند لایه تقسیم می‌کنند مانند میکرومیکسرهای لوزی شکل بیشتر و در هندسه‌هایی با وجود موانع روی دیواره کanal کمتر است. شمس‌الدینی و همکاران [۱۱] یک میکرومیکسر مجهز به پره را به کمک روش هیدرودینامیک ذرات هموار تراکم‌نپذیر^{۱۸}، شبیه‌سازی کرده‌اند و عملکرد اختلاط میکرومیکسر را در چهار حالت پره ضربدری نوسان‌کننده، پره ضربدری دوران‌کننده، پره مستقیم نوسان‌کننده و پره مستقیم دوران‌کننده بررسی کرده‌اند و نشان داده‌اند که عملکرد پره ضربدری بهتر از پره مستقیم است. قنبری و همکاران [۱۲] به بررسی تغییر

حجم از سیال، واکنش شیمیایی، انتقال حرارت، انتقال جرم و یا ترکیب چند فاز با هم (سوپرپانسیون^۱ و تعلیق) برای کاهش ناهمگنی در صنعت به کار می‌رود؛ و منجر به اثرات ثانویه مانند واکنش و تغییر خواص می‌شود. علاوه بر این اختلاط فرآیندی است که در بیشتر دستگاه‌های میکروسیالی برای تشخیص‌های پزشکی، توالی‌بایی ژنتیکی، تولید مواد شیمیایی و کشف دارو استفاده شده است [۱].

در فرآیندهای اختلاط متدائل سه اصطلاح وجود دارد: اختلاط مacro^۲، اختلاط مso^۳ و اختلاط میکرو^۴. اختلاط مacro به ترکیبی که بر بزرگ‌ترین اندازه‌های حرکت سیال حاکم است، اشاره دارد. در سطح ابعاد مacro عموماً اختلاط توسط یک جریان آشفته^۵ صورت می‌گیرد و در نتیجه آن سطح تماس دو سیال افزایش و طول مسیر اختلاط کاهش می‌یابد. کوچک‌ترین مقیاس حرکت سیال در اختلاط مacro اندازه ادی‌های توربولانسی^۶ است. اختلاط میکرو، اختلاط در اندازه کوچک‌ترین مقیاس حرکت سیال و حرکت مولکولی است. مکانیزم اختلاط جهت انتقال جرم، حرارت و همچنین واکنش شیمیایی در سطحی که این پدیده‌ها رخ می‌دهند اختلاط به روش میکرو است. اختلاط مso در مقیاسی بین اختلاط مacro و اختلاط میکرو است که می‌تواند ترکیبی از اختلاط مacro و اختلاط میکرو باشد [۲]. این مطالعه بر اختلاط در مقیاس میکرو تمرکز دارد.

اختلاط شامل چهار مکانیزم انتقال جرم پخش ادی^۷، پخش مولکولی^۸، جابه‌جایی^۹ و پراکندگی تیلور^{۱۰} است. پخش ادی انتقال گروه بزرگی از گونه‌های^{۱۱} و به یک جریان آشفته نیاز دارد. ایجاد جریان آشفته در این مقیاس به دلیل اثرات لزجت حاکم در ابعاد میکرو امکان‌پذیر نیست؛ بنابر این اختلاط بر پایه پخش ادی در میکرومیکسرها صورت نمی‌گیرد. جابه‌جایی و پراکندگی تیلور مکانیزم‌های اصلی انتقال در میکرومیکسرها پخش مولکولی هستند. پخش مولکولی با حرکت تصادفی مولکول‌ها انجام می‌گیرد؛ و با افزایش سطح تماس سیالات افزایش می‌یابد. این مکانیزم انتقال با ضریب پخش مولکولی مشخص می‌شود. جابه‌جایی پدیده دیگری از انتقال است که توسط حرکت سیال صورت می‌گیرد. انتقال در اثر جابه‌جایی امکان اختلاط بهبود یافته در اعداد رینولذ پایین را فراهم می‌کند، همچنین یک جریان آرام و پایا می‌تواند منجر به جابه‌جایی ناظم^{۱۲} شود؛ بنابراین جابه‌جایی ناظم برای شرایط جریان آرام در میکرومیکسرها ایده‌آل خواهد بود. پراکندگی تیلور نتیجه گردیدن سرعت است. پراکندگی محوری^{۱۴} به دلیل جابه‌جایی و پخش داخلی لایه‌های سیال با سرعت‌های مختلف رخ می‌دهد. اختلاط بر پایه پراکندگی تیلور به دلیل این اثر می‌تواند دو یا سه مرتبه سریع‌تر از اختلاط بر پایه پخش مولکولی خالص باشد [۱].

میکرومیکسرها به دو دسته کلی میکرومیکسرهای منفعه ل^{۱۵} و میکرومیکسرهای فعال^{۱۶} تقسیم شده‌اند. میکرومیکسرهای منفعت تنها به انرژی پمپاژ، در حالی که میکرومیکسرهای فعال به یک چشممه انرژی خارجی

¹ Suspension

² Genetic sequencing

³ Macromixing

⁴ Mesomixing

⁵ Micromixing

⁶ Turbulent flow

⁷ Turbulent eddies

⁸ Eddy diffusion

⁹ Molecular diffusion

¹⁰ Advection

¹¹ Taylor dispersion

¹² Species

¹³ Chaotic

¹⁴ Axial

¹⁵ Passive micromixers

¹⁶ Active micromixers

¹⁷ Sodium hydroxide

¹⁸Incompressible Smoothed Particle Hydrodynamics

صورت $\mu = \rho u D_h / \mu$ و $Re = \rho u D_h / \mu$ برو مبنای مجرای ورود آب تعريف شده‌اند؛ u سرعت متوسط جریان سیال و D_h قطر هیدرولیکی کanal اختلاط است [15,3,1].

3- تعریف مسئله و اعتبار سنجی

3-1- مدل فیزیکی

شکل 1 نمایی از میکروکanal مارپیچ سهبعدی با واحدهای تکرارشونده L شکل مورد مطالعه را نشان می‌دهد. کanal مارپیچ اصلی در یک اتصال شکل به ناحیه ورودی جریان متصل شده است. هر واحد اختلاط توسط پارامترهای L_1 , L_2 و w مشخص می‌شود. عرض کanal اختلاط (w) در تمام هندسه‌های بررسی شده برابر با مقدار ثابت 200 میکرومتر و دو برابر عرض کanal های ورودی جریان, h ارتفاع میکروکanal است. از آن‌جا که واحدهای L شکل سازنده میکرومیکسر روی دو صفحه موازی قرار دارند، ارتفاع کلی میکرومیکسر برابر $2h$ است. شکل 2 طول میکرومیکسر (L_z) و طول کلی مسیر جریان (L_z) در واحدهای اختلاط تکرارشونده را نشان می‌دهد. طول کلی مسیر جریان در کanal اختلاط میکرومیکسرهای مورد مطالعه مقداری ثابت و برابر 10000 میکرومتر در نظر گرفته شده است. طول میکرومیکسر (L_z) طبق رابطه (7) قابل محاسبه است.

$$L_z = n(L_2 - w) + w \quad (7)$$

در آن n تعداد واحدهای L شکل میکروکanal است.

براساس ابعاد و پارامترهای هندسی تأثیرگذار بر مسئله سه پارامتر هندسی بی‌بعد نسبت طول (LR), طول نرمال (ZR) و نسبت ابعاد (AR) به ترتیب به صورت روابط (8)-(10) تعريف و استفاده شده‌اند. هندسه هر میکروکanal به کمک این سه پارامتر بی‌بعد مشخص می‌شود.

$$LR = \frac{L_1}{L_2} \quad (8)$$

$$ZR = \frac{w}{L_1} \quad (9)$$

$$AR = \frac{h}{w} \quad (10)$$

دو سیال مخلوط‌شدنی آب و اتانول در فرآیند اختلاط به کار رفته‌اند؛ که تحت شرایط عادی مخلوط ایده‌آل تشکیل می‌دهند و با یکدیگر واکنش نمی‌دهند. خواص ترموفیزیکی هر دو سیال در دمای 20°C 20 اندازه‌گیری شده‌اند و دارای مقداری ثابت هستند [14]. در جدول 1 خواص این دو سیال آورده شده است. جریان با توزیع سرعت توسعه‌یافته وارد کanal‌های ورودی جریان شده و با فشار نسبی استاتیکی صفر از خروجی میکرومیکسر خارج شده است. شرط مرزی عدم لغزش و نفوذناپذیری روى دیوارهای کanal حاکم است. کسر جرمی گونه 1 (c_1) در یکی از ورودی‌ها برابر 1 و در ورودی دیگر برابر 0 اعمال شده است.

2- معیار اختلاط و همگرایی

برای مقایسه عملکرد اختلاط هندسه‌های مختلف لازم است کیفیت اختلاط

جدول 1 خواص سیالات در دمای 20°C

ضریب پخش مولکولی (m ² s ⁻¹)	لزجت (kgm ⁻³)	لزجت (kgm ⁻¹ s ⁻¹)	سیال
10 ⁻⁹	999.8	0.0009	آب
10 ⁻⁹	789	0.0012	اتanol

در رفتار اختلاط دو جریان سیال تراکم‌ناپذیر با چگالی و لزجت متفاوت در یک میکروکanal دو بعدی مجهز به استوانه نوسان‌کننده و پره نوسان‌کننده و دوران‌کننده، در محدوده‌ای از نسبت لگاریتمی لزجت و نسبت چگالی، در فرکانس‌های مختلف تحریک‌کننده پرداخته‌اند. آن‌ها نتیجه گرفته‌اند که اختلاط دو سیال با چگالی و لزجت یکسان یک حالت ایده‌آل است و آن را مورد بررسی قرار داده‌اند، همچنین افزایش اندازه پره منجر به بهبود اختلاط شده است.

با مرور بر پیشینه تحقیق، کاناریس و همکاران [6] میکرومیکسرهای با طرح‌های مختلف را بررسی کرده‌اند، و بهترین عملکرد اختلاط را به میکرومیکسر L شکل نسبت داده‌اند. ویجایندران و همکاران [13] عملکرد بهتر L میکرومیکسر را نسبت به کanal مستقیم ساده گزارش کرده‌اند. در میکرومیکسرهای غیرفعال، هندسه میکرومیکسر نقش اساسی در بهبود اختلاط دارد. در این مقاله سعی شده برای ارزیابی بهترین شرایط اختلاط در میکرومیکسر L شکل و یافتن مقادیری از پارامترهای هندسی در آن که بتواند عملکرد اختلاط را بهبود بخشد؛ به بررسی میزان اثرگذاری تعداد واحدهای L شکل، تغییرات ارتفاع و نسبت طول شاخه‌های واحدهای سازنده میکروکanal بر فرآیند اختلاط پرداخته شود که تاکنون گزارش نشده است.

2- معادلات حاکم و روش حل عددی

معادلات بقایی حاکم به کمک کد تجاری دینامیک سیالات محاسباتی فلوئنت¹ برایه تقریب حجم محدود در حالت دقت مضاعف حل شده‌اند. برای گسسته‌سازی جملات جابه‌جایی از روش بالادست مرتبه دوم² استفاده شده و الگوریتم سیمپل سی³ برای کوپل فشار و سرعت به کار رفته است. چگالی مخلوط در یک مخلوط که شامل دو یا چند سیال است به کمک رابطه (1) بدست می‌آید.

$$\rho = \frac{1}{\sum_i \frac{c_i}{\rho_i}} \quad (1)$$

در آن c_i کسر جرمی گونه i و ρ_i چگالی گونه i است. در یک مخلوط دو سیالی کسر جرمی گونه 1 (c_1) به صورت رابطه (2) است.

$$c_1 = \frac{m_1}{m_1 + m_2} \quad (2)$$

در آن m_1 جرم گونه 1 و m_2 جرم گونه 2 است، همچنین لزجت دینامیکی یک مخلوط دو سیالی با استفاده از یکتابع نمایی به صورت رابطه (3) محاسبه می‌شود [14].

$$\mu(c_1) = \mu_2 \exp\left(-c_1 \cdot \ln \frac{\mu_2}{\mu_1}\right) \quad (3)$$

در آن μ لزجت دینامیکی مخلوط، μ_1 و μ_2 به ترتیب لزجت دینامیکی گونه 1 و گونه 2 است. در این مقاله گونه 1 اتانول و گونه 2 آب است.

در مطالعه حاضر جریان به صورت لزج، هدم، تراکم‌ناپذیر، آرام و دائم در نظر گرفته شده است. معادلات پیوستگی، بقایی مومنتوم و انتقال جرم به ترتیب به صورت روابط (4)-(6) است.

$$\vec{\nabla} \cdot (\rho \vec{V}) = 0 \quad (4)$$

$$\vec{\nabla} \cdot (\rho \vec{V} \vec{V}) = \vec{\nabla} \cdot (\mu \vec{\nabla} \vec{V}) \quad (5)$$

$$\vec{\nabla} \cdot (\rho \vec{V} C) = \vec{\nabla} \cdot (\rho D \vec{\nabla} C) \quad (6)$$

در آن‌ها ρ چگالی، \vec{V} بردار سرعت، μ لزجت دینامیکی، C کسر جرمی و D ضریب پخش مولکولی است. عدد رینولدز و عدد اشمیت به ترتیب به

¹Fluent

²Second Order Upwind

³SIMPLEC

انحراف معیار در بین داده‌های موجود است؛ انحراف معیار برای سیالات کاملاً مخلوط نشده (در مقاطع ورودی جریان) بیشترین مقدار و برای سیالات کاملاً مخلوط شده کمترین مقدار را دارد. مقدار کمتر از 10^{-6} برای باقی مانده شاخص اختلاط به عنوان معیار همگرایی در نظر گرفته شده است.

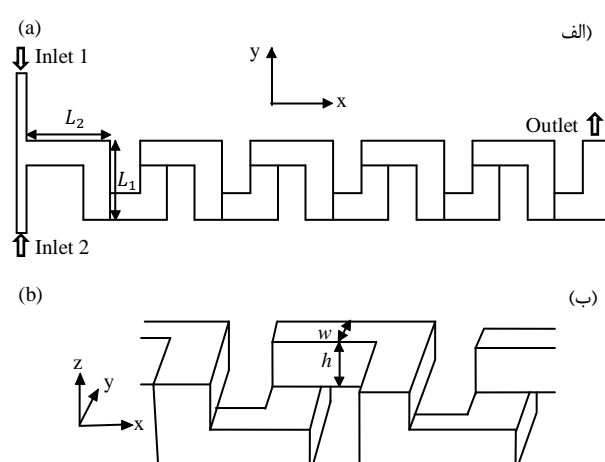
3-3 حل مستقل از شبکه

در حل عددی معادلات نمی‌توان پخش عددی^۳ را به طور کامل حذف کرد، اما می‌توان به کمک روش‌های مشخصی کاهش داد [17]. یکی از راه‌های کاهش خطاهای ناشی از انتخاب شبکه محاسباتی ریزتر کردن آن است. این موضوع به ویژه در قسمت‌هایی از جریان که تغییرات شدید وجود دارد بیشتر مورد توجه قرار می‌گیرد. ریزتر کردن شبکه برای دستیابی به حل دقیق‌تر معادلات سبب افزایش چشمگیر مدت زمان اجرای برنامه خواهد شد. ریزکردن شبکه تا زمانی ادامه پیدا می‌کند که تغییر کیفیت شبکه تاثیری بر نتایج کلیدی ایجاد نکند. در این حالت ریزتر کردن شبکه امری غیرضروری بوده و شبیه‌سازی مستقل از شبکه است.

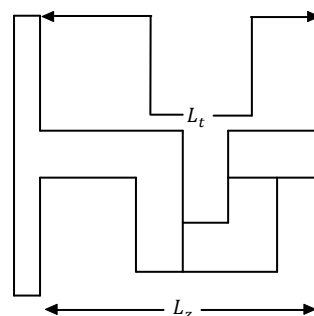
جهت دستیابی به نتایج دقیق بهویژه در تحلیل اختلاط، مشبندی با کیفیت بالا ضروری است. مشبندی با عناصر شش وجهی سازمان‌یافته نسبت به مشبندی بدون سازمان علاوه‌بر دقت و سادگی برای تحلیل اثر هندسه بر اختلاط، بهتر می‌تواند گرادیان‌های شدید در گوشه‌ها را با تعداد گره کافی کنترل کند. در شکل 3 اثر تعداد سلول‌های شبکه محاسباتی بر شاخص اختلاط در یک L میکرومیکسر با پارامترهای طراحی $AR=1$, $LR=1$, $ZR=1$ و $Re=200$ نشان داده شده است. در قسمت شرح عالیم شکل 3 اعداد سمت چپ و سمت راست به ترتیب نشان‌دهنده تعداد سلول‌های محاسباتی در مقطع عرضی کانال اختلاط و تعداد کل سلول‌های محاسباتی است. با توجه به شکل 3 مقادیر شاخص اختلاط در دو شبکه محاسباتی با تعداد کل سلول‌های 3392000 و 4514752 نزدیک به یکدیگر بوده است (اختلاف کمتر از 5.5%). برای دستیابی به محاسبات دقیق‌تر از آن جا که تغییرات جریان در جهت عرضی میکروکانال بیشتر از قسمت‌های مستقیم کانال است پیشنهاد می‌شود. در جهت عرضی از سلول‌های درشت‌تر در ریزتر و در قسمت‌های مستقیم کانال اختلاط از سلول‌های درشت‌تر در شبکه‌بندی استفاده شود. مقادیر شاخص اختلاط در حالت شبکه‌بندی در 44 44_3471248 (اندازه سلول‌ها در جهت طولی دو برابر اندازه سلول‌ها در جهت عرضی کانال)، انتباط خوبی با حالت 44_44_4514752 دارد (اختلاف کمتر از 0.7%). بنابراین شبکه با تعداد کل سلول‌های محاسباتی 3471248 چهت صرفه‌جویی در زمان اجرای برنامه کفایت می‌کند. شکل 4 نمایی از شبکه محاسباتی سازمان‌یافته در L میکرومیکسر را نشان می‌دهد.

4- اعتبارسنجی

از مسئله مورد بررسی گالتی و همکاران [18] برای حصول اطمینان از صحت شبیه‌سازی استفاده شده است. گالتی و همکاران [18] اثر شرایط مرزی جریان ورودی بر میزان اختلاط در T میکرومیکسر نشان داده شده در شکل 5 را به طور عددی بررسی کرده‌اند؛ به این صورت که یک بار جریان با توزیع سرعت یکنواخت (حالت non-FD) و بار دیگر با توزیع سرعت توسعه‌یافته (FD) وارد کانال‌های ورودی جریان شده است. شکل 6 مقدار شاخص اختلاط در اعداد رینولدز مختلف برای دو حالت non-FD و FD در دو مقطع مختلف ($y=-500 \mu\text{m}$ و $y=-3000 \mu\text{m}$)، در کار حاضر و کار گالتی و



شکل 1 میکرومیکسر: (الف) نمای دو بعدی (صفحه xy)، (ب) نمای سه بعدی



شکل 2 پارامترهای هندسی طول میکرومیکسر (L_z) و طول کلی مسیر جریان (L_t)

تعیین گردد. در بیشتر مطالعات تجربی و عددی یک شاخص اختلاط^۱ بر پایه انحراف معیار کسر جرمی از کسر جرمی متوسط روی سطح مقطع تعريف می‌شود. در مطالعه حاضر انحراف معیار گونه‌ها در مقاطع عرضی کانال اختلاط، در جهت عمود بر جهت جریان اصلی مشخص شده است. انحراف معیار بر پایه مفهوم شدت تفکیک است؛ که بر پایه انحراف کسر جرمی از کسر جرمی متوسط است. انحراف معیار کسر جرمی در یک مقطع عرضی عمود بر جهت جریان با سلول‌های محاسباتی یکنواخت به صورت رابطه (11) تعريف شده است [16]:

$$\sigma = \sqrt{\frac{1}{N} \sum (c_i - c_m)^2} \quad (11)$$

که در آن N تعداد گره‌های محاسباتی در مقطع عرضی، c_i کسر جرمی در گره محاسباتی i و c_m کسر جرمی متوسط یکی از گونه‌ها در اختلاط کامل و برابر با 0.5 است. شاخص اختلاط (M)، به منظور ارزیابی درجه اختلاط دو سیال در مقطع عرضی عمود بر جهت جریان اصلی مطابق رابطه (12) محاسبه شده است [16].

$$M = 1 - \frac{\sigma}{\sigma_{\max}} \quad (12)$$

مقدار M همواره در محدوده $0 \leq M \leq 1$ قرار دارد. مقدار بزرگ‌تر نشان‌دهنده عملکرد اختلاط بهتر است. در رابطه (12)، σ_{\max} بیشترین

²Numerical diffusion

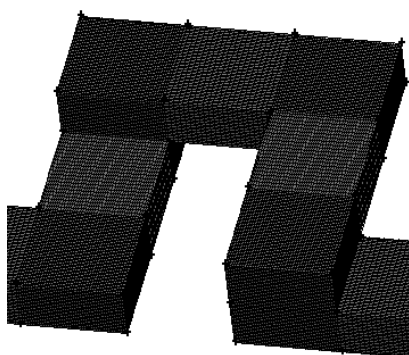


Fig. 4 Structured grid in L-micromixer

شکل 4 شبکه‌بندی باسازمان در L میکرومیکسر

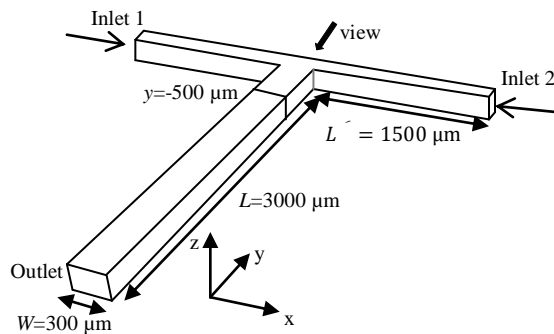
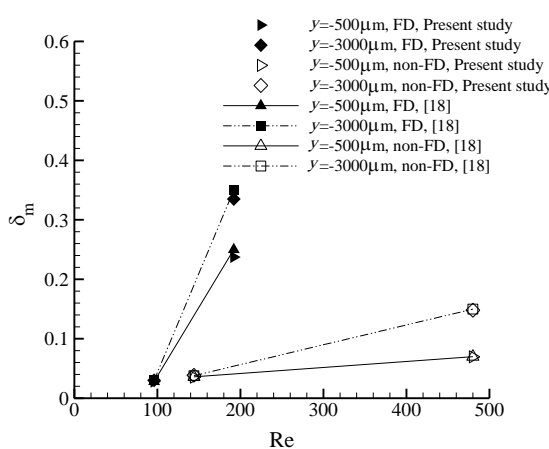


Fig. 5 Schematic of T-micromixer [18]

شکل 5 شماتیک T میکرومیکسر [18]

شاخص اختلاط در همه میکرومیکسرها تقریباً ثابت و بدون تغییر مانده است. بیشترین مقدار شاخص اختلاط در دو میکرومیکسر با 4 و 8 واحد L شکل (ZR=0.276 و ZR=0.148)، با افزایش عدد رینولذز به بیشترین مقدار شاخص اختلاط در هندسه با 10 واحد L شکل (شاخص اختلاط 88% در خروجی میکروکanal) نزدیک شده است. دو سیال در اعداد رینولذز بالا به سرعت در قسمت‌های ابتدایی کanal اختلاط در دو میکرومیکسر با تعداد 8 و 10 واحد L شکل (ZR=0.276 و ZR=0.148) برابر باشد.

Fig. 6 Comparison of changes of mixing index as a function of Reynolds number at the $y = -500 \mu\text{m}$ and $y = -3000 \mu\text{m}$ cross sections in mixing channel in present study with Galletti et al. [18] resultsشکل 6 مقایسه تغییرات شاخص اختلاط به صورت تابعی از عدد رینولذز در مقاطع عرضی $y = -3000 \mu\text{m}$ و $y = -500 \mu\text{m}$ در کanal اختلاط در مطالعه حاضر با نتایج گالتی و همکاران [18]

همکاران [18] را نشان می‌دهد؛ بیشینه اختلاف نتایج 1.5% بوده است.

4- بحث و بررسی نتایج

مطالعه عملکرد یک L میکرومیکسر با مقادیر مختلف پارامترهای هندسی بی بعد طول نرمال (ZR)، نسبت طول (LR) و نسبت ابعاد (AR) انجام شده است. شاخص اختلاط به عنوان پارامتری برای مقایسه عملکرد اختلاط هندسه‌های مختلف انتخاب شده است. تحلیل‌ها به ازای عدد اشمیت 900.18 و چهار عدد رینولذز 50، 100، 150 و 200 انجام شده‌اند.

4-1- تغییرات طول نرمال (ZR)

اثر تغییرات طول نرمال بر هندسه میکروکanal در شکل 7 نشان داده شده است. شکل 8 تغییرات شاخص اختلاط در مقاطع عرضی L میکرومیکسر با مقادیر مختلف طول کلی مسیر جريان (L_t)، به ازای چهار مقدار طول نرمال 0.333 و 0.276 و 0.148 و 0.077 در اعداد رینولذز 50، 100، 150 و 200 را نشان می‌دهد. به طور کلی با افزایش طول نرمال و در نتیجه آن افزایش تغییر جهت‌های جريان که سبب افزایش سطح تماس دو سیال می‌شوند، عملکرد اختلاط L میکرومیکسر بهبود یافته است. در $Re=50$ شاخص اختلاط در امتداد میکروکanal با طول نرمال 0.077 بهبود یافته است. در دلیل جابه‌جایی نامنظم ضعیف به تدریج افزایش یافته است، همچنین افت کمی که در مقدار شاخص اختلاط در برخی از مقاطع میکروکanal‌ها مشاهده می‌شود به دلیل اختلاط ضعیف رخ داده است (شکل 8-الف). در اعداد رینولذز پایین نیروهای لرزی، نیروی غالب وارد بر جريان سیال بوده و ساز و کار غالب در انتقال جرم، پدیده پخش مولکولی است. با افزایش تغییر جهت‌های جريان و در نتیجه آن افزایش قدرت جابه‌جایی نامنظم فرآیند اختلاط به طور چشمگیری بهبود می‌یابد [19]. استفاده از هندسه‌های افزایش‌دهنده اختلاط در اعداد رینولذز کم ضروری است. همواره شب تغییرات شاخص اختلاط در قسمت‌های ابتدایی کanal اختلاط در دو میکرومیکسر با تعداد 8 و 10 واحد L شکل ($ZR=0.333$ و $ZR=0.276$)، بیشتر از دو میکروکanal دیگر بوده، این اختلاف با افزایش عدد رینولذز بیشتر شده است. در $Re=150$ شاخص اختلاط در مقاطع خروجی میکروکanal با $ZR=0.276$ بیشترین مقدار را داشته و افزایش طول نرمال به مقدار $ZR=0.333$ تأثیری بر مقدار شاخص اختلاط در خروجی نداشته است؛ و طول کلی مسیر جريان 7000 میکرومتر برای دستیابی به بیشترین مقدار شاخص اختلاط کفایت می‌کند.

به ازای $Re=150$ و $Re=200$ ، از مقاطع مشخصی از کanal مارپیچ مقدار

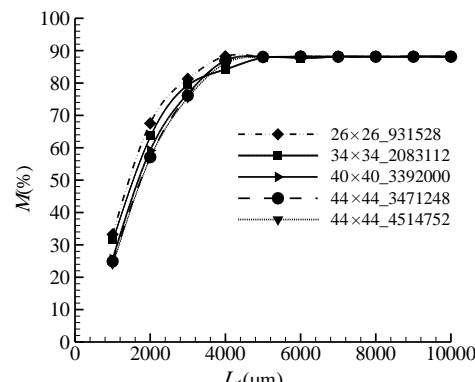


Fig. 3 Determination of grid independency solution

شکل 3 تعیین حل مستقل از شبکه‌بندی

همراه است. افت فشار بالا مستقیم به اتفاق انرژی زیاد مربوط است؛ که در فرآیند اختلاط واقعی نامطلوب است [14]. تغییرات افت فشار به صورت تابعی از عدد رینولدز در هندسه‌های با طول نرمال مختلف در شکل 10 نشان داده شده است. افت فشار به صورت غیرخطی با افزایش عدد رینولدز افزایش یافته است. شبیه‌سازی افت فشار با افزایش عدد رینولدز به دلیل ایجاد جابه‌جایی نامنظم قوی‌تر در L میکرومیکسر زیادتر شده است. افزایش تعداد تغییر جهت‌ها و زانویهای در میکروکانال (افزایش طول نرمال)، افت فشار را افزایش داده است؛ اما این موضوع در اعداد رینولدز پایین صادق نیست.

2-4- تغییرات نسبت طول (LR)

نمایی از سه L میکرومیکسر طراحی شده با نسبت طول ۰.۵، ۱ و ۱.۹۳ در شکل 11 آورده شده است. نسبت ابعاد در همه این هندسه‌ها برابر یک و تعداد واحدهای L شکل در هر سه میکروکانال یکسان فرض شده‌اند. طول نرمال برای عدم دخالت اثر تغییرات تعداد واحدهای سازنده بر عملکرد اختلاط با تغییر نسبت طول تغییر کرده است. مقدار پارامتر هندسی طول نرمال به ازای مقادیر نسبت طول ۰.۵، ۱ و ۱.۹۳ به ترتیب برابر با ۰.۵، ۰.۲۵ و ۰.۳۳۳ محاسبه شده است. شکل 12 تغییرات شاخص اختلاط در مقاطع عرضی L میکرومیکسرهایی با نسبت طول مختلف به ازای اعداد Re=50 رینولدز مختلف را نشان می‌دهد. در Re=50 شاخص اختلاط در خروجی هر سه میکروکانال با هم برابر بوده و در مقاطع عرضی پیش از آن عملکرد اختلاط میکرومیکسر با نسبت طول ۱ از دو میکروکانال دیگر بهتر بوده است (شکل 12-الف). به بیان دیگر در اعداد رینولدز پایین با توجه به غالب بودن پدیده پخش مولکولی، زمانی که محل قرارگیری زانویه‌ها در وسط واحدهای L شکل باشد، فواصل تغییر جهت‌های جریان در امتداد کانال یکسان خواهد بود. این امر سبب تقویت جریان عرضی به طور منظم در تمام طول مسیر جریان شده و بازده اختلاط را در امتداد میکروکانال نسبت به دو میکروکانال دیگر افزایش داده است. در Re=100 عملکرد اختلاط دو میکروکانال با نسبت طول ۰.۵ و ۱.۹۳ به عملکرد اختلاط میکرومیکسر با نسبت طول ۱ نزدیک شده است (شکل 12-ب). در Re=150 در مقطع عرضی با طول کلی مسیر جریان 5000 میکرومتر بیشترین مقدار ممکن شاخص اختلاط حاصل می‌شود و تغییر پارامتر نسبت طول تأثیری بر شاخص اختلاط ندارد؛ بنابراین می‌توان طول کلی مسیر جریان میکروکانال را به 5000 میکرومتر کاهش داد (شکل 12-ج). با کاهش طول کلی مسیر جریان میکروکانال در Re=150 به مقدار کمتر از 5000 میکرومتر، دو میکرومیکسر با نسبت طول ۰.۵ و ۱.۹۳ عملکرد اختلاط کمی بهتری نسبت به میکرومیکسر با نسبت طول واحد دارند. در نهایت به ازای Re=200 رفتار اختلاط در هر سه میکروکانال تقریباً مشابه بوده است (شکل 12-د). در اعداد رینولدز بالا تغییرات نسبت طول واحدهای L شکل سازنده میکروکانال تأثیر چندانی بر عملکرد اختلاط نمی‌گذارد. به طور کلی می‌توان دریافت که به ازای اعداد رینولدز بالا در L میکرومیکسرها نوع و تعداد تغییر جهت‌های تندر ۹۰ درجه جریان و به تبع آن اثرات نیروهای گیریز از مرکز دارای اهمیت است؛ در حالی که محل این تغییر جهت‌ها در واحدهای سازنده میکروکانال چندان حائز اهمیت نیست. کمتر بودن مقدار طول میکرومیکسر (L_Z) نشان‌دهنده تراکم بیشتر میکروکانال است. تراکم میکرودستگاه‌ها نوان یکی از مهم‌ترین مزایای میکرو تجهیزات در کاربردهای اختلاط [22] و یا انتقال حرارت [23] است. از آنجا که طول میکرومیکسر (L_Z) در میکروکانال با نسبت طول ۱.۹۳ کمتر است؛ بنابراین

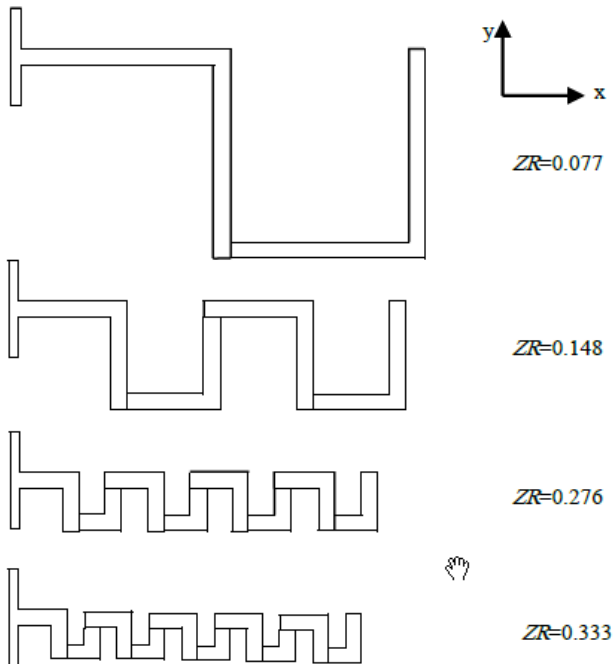


Fig. 7 Two dimensional view of microchannels with different normalized length (ZR)

شکل 7 نمای دوبعدی میکروکانال‌های با طول نرمال (ZR) مختلف

10 واحد L شکل با هم مخلوط شده‌اند و شاخص اختلاط در مقطع عرضی با طول کلی مسیر جریان 5000 میکرومتر در این دو میکروکانال به بیشترین مقدار (88%) رسیده است (شکل 8-د). در Re=200 منحنی داده‌های شاخص اختلاط در دو میکروکانال با ۸ و ۱۰ واحد سازنده، به جز در نواحی ابتدایی کانال اختلاط بسیار به یکدیگر نزدیک بوده‌اند و عملکرد اختلاط مشابهی را داشته‌اند؛ و مقدار شاخص اختلاط در مقطع خروجی سه L میکرومیکسر با ۴، ۸ و ۱۰ واحد سازنده یکسان و ۹% بیشتر از شاخص اختلاط در مقطع خروجی میکرومیکسر با ۴ واحد L شکل بوده است. L ZR=0.077 به دلیل کاهش تعداد زانویه‌ها و در نتیجه آن میکرومیکسر با ۸-د به ازای ZR=0.333 با افزایش مقدار L شاخص اختلاط همواره سیر صعودی نداشته است. حسین و همکاران [20] و الی و کیم [21] نیز در بررسی عملکرد میکرومیکسرها به ازای اعداد رینولدز بالا نتایج مشابهی را گزارش کرده‌اند. به این صورت که مقدار شاخص اختلاط تا زمان رسیدن به اختلاط کامل همواره سیر صعودی نداشته است. روند تغییرات شاخص اختلاط مربوط به هندسه میکروکانال است و ممکن است با تغییر هندسه میکروکانال به یک طرح نامتناوب اختلاط افزایش یابد.

کیفیت اختلاط در خروجی میکرومیکسر نماینده عملکرد اختلاط کلی میکروکانال است. شکل 9 تغییرات شاخص اختلاط نسبت به عدد رینولدز در مقطع خروجی چهار هندسه میکروکانال با طول نرمال مختلف را نشان می‌دهد. به طور کلی در هر چهار هندسه با افزایش عدد رینولدز شاخص اختلاط در مقطع خروجی میکروکانال افزایش یافته است. در اعداد رینولدز بالا تغییرات طول نرمال تأثیر کمتری بر شاخص اختلاط در مقطع خروجی داشته است.

کیفیت اختلاط بسیار خوب در یک میکرومیکسر معمولاً با افت فشار بالا

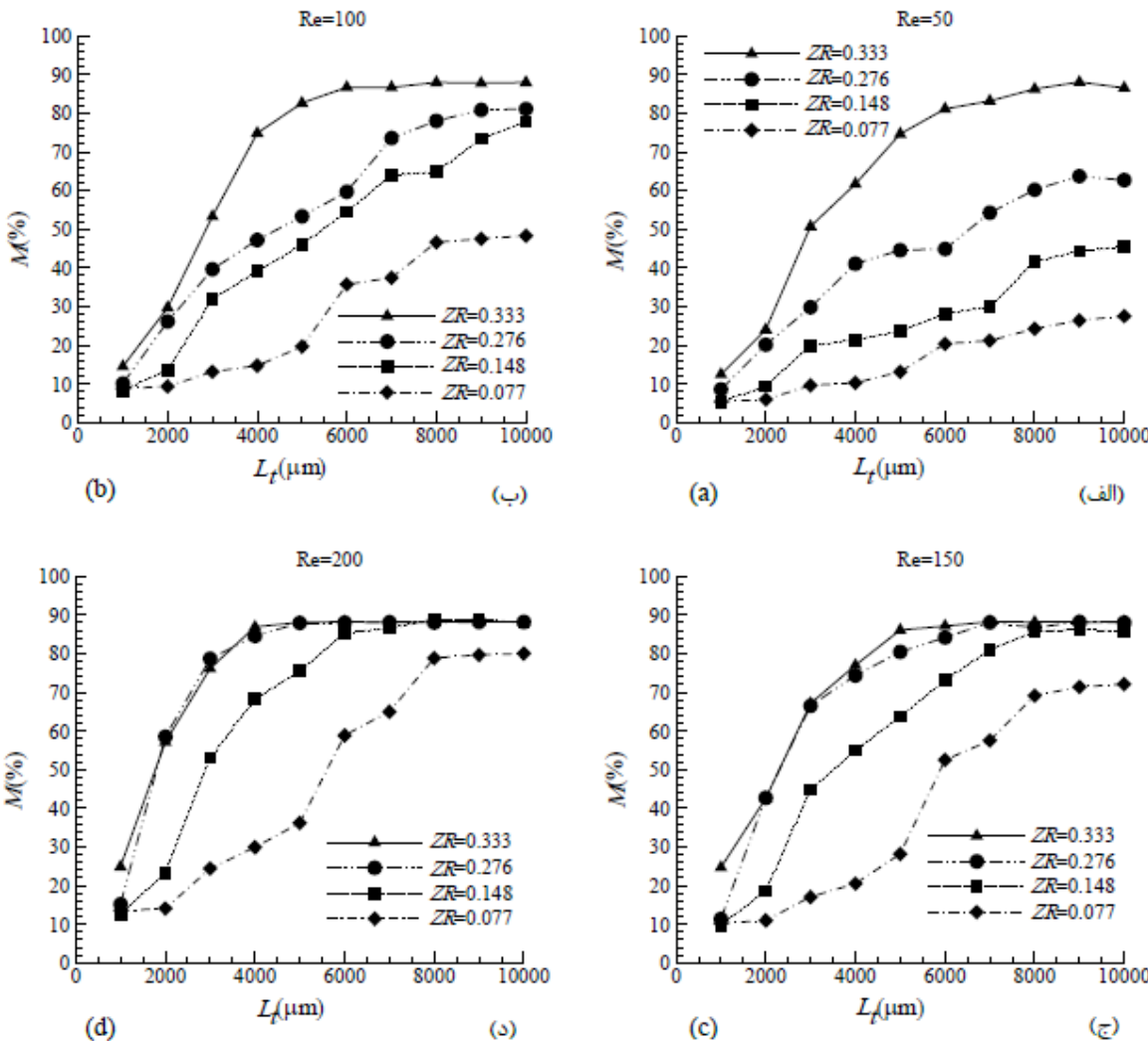


Fig. 8 Mixing index as a function of the total length of flow path (L_t) in L-micromixers with $LR=1$, $AR=1$, and different normalized length (ZR): a) $Re=50$, b) $Re=100$, c) $Re=150$, and d) $Re=200$

شکل 8 شاخص اختلاط به صورت تابعی از طول کلی مسیر جریان (L_t) در L-میکرومیکسرهایی با $AR=1$ و طول نرمال (ZR) مختلف، a) $Re=50$ ، b) $Re=100$ ، c) $Re=150$ و d) $Re=200$

[Downloaded from nme.modares.ac.ir on 2024-05-04]

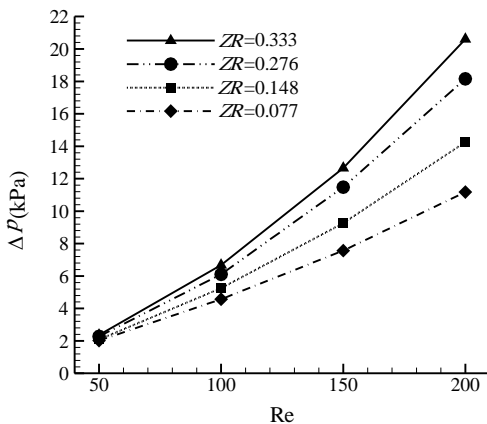


Fig. 10 Pressure drop vs. Reynolds number in L-micromixers with $LR=1$, $AR=1$, and different normalized length (ZR).

شکل 10 افت فشار نسبت به عدد رینولدز در L-میکرومیکسرهایی با $AR=1$ و $LR=1$ میکرومیکسرهایی با طول نرمال (ZR) مختلف

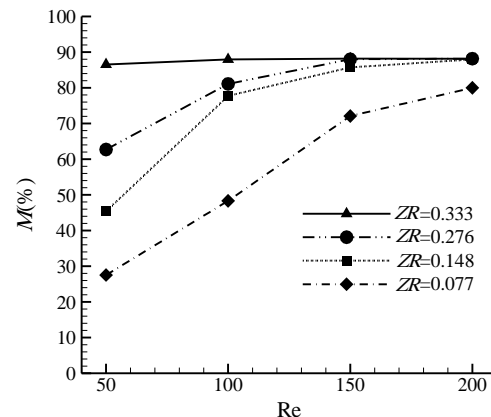


Fig. 9 Mixing index vs. Reynolds number at the outlet section of L-micromixers with $LR=1$, $AR=1$, and different normalized length (ZR).

شکل 9 شاخص اختلاط نسبت به عدد رینولدز در مقطع خروجی L-میکرومیکسرهایی با $AR=1$ و $LR=1$ میکرومیکسرهایی با طول نرمال (ZR) مختلف

میکرومیکسرهایی با مقادیر نسبت ابعاد ۰.۵، ۱ و ۱.۵ بررسی شده است. پارامترهای طراحی نسبت طول و طول نرمال در این سه میکرومیکسر یکسان و به ترتیب برابر $LR=1$ و $ZR=0.333$ در نظر گرفته شده است. شکل ۱۵ نمایی از سه هندسه مورد مطالعه در این قسمت را نشان می‌دهد. تغییرات شاخص اختلاط در امتداد کانال‌های مارپیچ با نسبت ابعاد مختلف در چهار عدد رینولدز در شکل ۱۶ ارائه شده است (شکل ۱۶-الف)؛ همچنین تغییرات نسبت به دو میکروکانال دیگر داشته است (شکل ۱۶-الف)؛ همچنین تغییرات نوسانی شاخص اختلاط در برخی از مقاطع به دلیل جابه‌جایی نامنظم ضعیف و در نتیجه اختلاط ضعیف رخ داده است. در اعداد رینولدز بالاتر از $Re=50$ میکرومیکسرهایی با نسبت ابعاد ۰.۵ بهتر صورت گرفته است. طول کانال مورد نیاز میکروکانال با نسبت ابعاد ۰.۵ بهتر است. در اعداد رینولدز بالاتر از $Re=50$ شاخص اختلاط از مقطع مشخصی از کانال اختلاط در هر سه میکروکانال مقدار ثابت و یکسانی داشته و در نواحی پیش از این مقطع اختلاط در میکروکانال برای اختلاط از مهم‌ترین کمیت‌ها برای بررسی هندسه است. میکرومیکسری که در کوتاه‌ترین طول بتواند به درجه اختلاط موردنظر دست یابد، مناسب است [۲۶, ۲۵]. در اعداد رینولدز ۱۰۰، ۱۵۰ و ۲۰۰ به ترتیب از طول کلی مسیر جریان ۷۰۰۰، ۶۰۰۰ و ۵۰۰۰ میکرومتر با پیشروی در کانال اختلاط مقدار شاخص اختلاط در هر سه هندسه با هم برابر بوده و به بیشترین مقدار ممکن رسیده است؛ بنابراین می‌توان طول کلی مسیر جریان در میکروکانال‌ها را به ازای اعداد رینولدز ۱۰۰، ۱۵۰ و ۲۰۰ به ترتیب به ۷۰۰۰، ۶۰۰۰ و ۵۰۰۰ میکرومتر برای دستیابی به بیشترین مقدار شاخص اختلاط ممکن کاهش داد. نسبت سطح به حجم کانال اختلاط در L میکرومیکسرهای طراحی شده با نسبت ابعاد ۰.۵ و ۱.۵ به ترتیب برابر با ۰.۰۲ و ۰.۰۳ و ۰.۰۱۷ بوده است. عملکرد اختلاط بهتر در میکرومیکسر با نسبت ابعاد ۰.۵ نسبت به دو میکروکانال دیگر می‌تواند به دلیل طول پخش کوتاه‌تر و یا بیشتر بودن نسبت سطح به حجم کانال اختلاط باشد؛ که سبب شده سطح تماس دو سیال در امتداد کانال اختلاط بیشتر تحت کشش و پیچش قرار گیرد. در $Re=200$ عملکرد اختلاط دو میکروکانال با نسبت ابعاد ۱ و ۱.۵ بسیار به یکدیگر نزدیک بوده است (شکل ۱۶-د).

در شکل ۱۷ تغییرات افت فشار به صورت تابعی از پارامتر d بعد نسبت ابعاد کانال مارپیچ به ازای اعداد رینولدز مختلف ارائه شده است. این داده‌ها در طراحی پمپ مورد نیاز برای به حرکت در آوردن جریان در میکرومیکسر دارای اهمیت است. افت فشار در یک عدد رینولدز مشخص با افزایش نسبت ابعاد کاهش یافته، در $Re=50$ افت فشار با تغییرات نسبت ابعاد میکروکانال چندان تحت تأثیر قرار نگرفته، در حالی که در اعداد رینولدز بالا تغییرات قابل توجه افت فشار با تغییر نسبت ابعاد را نشان داده است. افت فشار در دو میکروکانال با نسبت ابعاد ۱ و ۱.۵ به ازای اعداد رینولدز مختلف تقریباً یکسان است. افت فشار در بالاترین عدد رینولدز و کمترین نسبت ابعاد بیشترین مقدار خود را داشته است.

مقدار شاخص اختلاط در خروجی میکروکانال با نسبت ابعاد ۱ به ازای هر چهار عدد رینولدز بررسی شده بیشترین مقدار را داشته و افت فشار در آن در مقایسه با میکروکانال با نسبت ابعاد ۰.۵ کمتر بوده است. در میکروکانال با نسبت ابعاد ۱، با حفظ نسبت سطح به حجم به نسبت پایین در کانال اختلاط می‌توان احتمال گرفتگی، رسوب و از دست دادن نمونه توسط جذب بیومولکولی بر سطح میکرودستگاه را کاهش داد. در تصمیم‌گیری نهایی میکرومیکسر مناسب در فرآیند اختلاط، میکروکانال با نسبت ابعاد ۱ می‌تواند انتخاب مناسبی باشد.

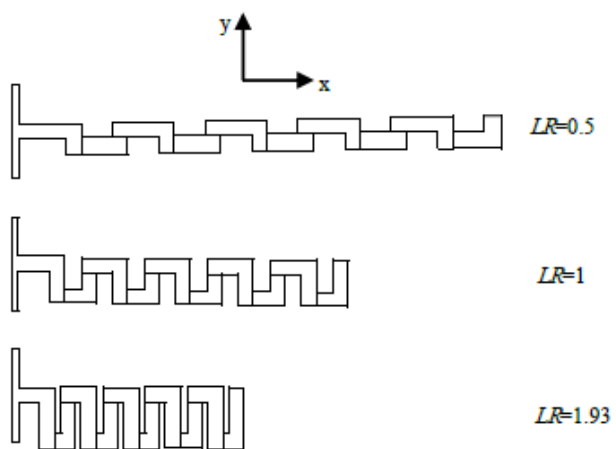


Fig. 11 Two dimensional view of microchannels with different length ratio (LR)

شکل ۱۱ نمای دو بعدی میکروکانال‌های با نسبت طول (LR) مختلف

در اعداد رینولدز بالا میکرومیکسر با نسبت طول ۱.۹۳ می‌تواند انتخاب مناسب‌تری نسبت به دو میکرومیکسر دیگر باشد.

تغییرات افت فشار نسبت به عدد رینولدز در L میکرومیکسرهایی با نسبت طول مختلف در شکل ۱۳ گزارش شده است. افت فشار در هر سه هندسه به صورت غیرخطی با افزایش عدد رینولدز افزایش یافته است و به ازای اعداد رینولدز کمتر از $Re=150$ تقریباً یکسان بوده است. افت فشار در اعداد رینولدز بالا با افزایش نسبت طول واحدهای L شکل میکروکانال افزایش یافته است.

ورتیسیته به صورت کرل^۱ بردار سرعت تعریف می‌شود و بیانگر پیچش المان‌های سیال است [۲۴]، بنابراین می‌تواند به عنوان معیار مناسبی برای نمایش جریان‌های ثانویه در این بررسی مورد استفاده قرار گیرد. در شکل ۱۴ توزیع مؤلفه x ورتبه ω_x ورتبه ω_y در مقاطع عرضی موازی با صفحه yz در سومین واحد L شکل میکروکانال با پارامترهای طراحی $AR=1$ ، $LR=0.5$ و $ZR=0.5$ به ازای $Re=50$ ارائه شده و محل قرارگیری این مقاطع به صورت s/d مشخص شده است. تعریف دو مشخصه d و ω در میکروکانال در شکل ۱۴-الف نشان داده شده است. در نواحی ابتدایی سومین واحد L شکل سازنده میکروکانال دو ناحیه مشخص با بیشترین مقدار ورتبه در خلاف جهت یکدیگر مشاهده می‌شود. با پیشروی در میکروکانال نواحی با بیشترین مقدار ورتبه در مرکز کانال از بین رفته و در دیوارهای جانبی سازنده میکروکانال دو ناحیه مشخص با بیشترین مقدار ورتبه در خلاف جهت یکدیگر مشاهده می‌شود. با پیشروی در میکروکانال نواحی با بیشترین مقدار ورتبه در مرکز کانال از بین رفته و در دیوارهای جانبی ظاهر شده است. بیشینه ورتبه در نزدیکی ورودی سومین واحد L شکل به سرعت کاهش یافته و مقدار ورتبه در محل تغییر جهت جریان دیواره افزایش پیدا کرده است. در نهایت در محل ورتبه در قسمت مستقیم کانال در واحد L شکل کم است. در اخلاق ابتدا با مقدار ورتبه در قسمت مستقیم کانال در واحد L شکل کم میکروکانال ورتبه ضعیفتر بوده و در نتیجه اختلاط به کندی انجام می‌شود.

۳-۴- تغییرات نسبت ابعاد (AR)

اثر نسبت ارتفاع به عرض کانال اختلاط بر عملکرد اختلاط L

^۱ curl

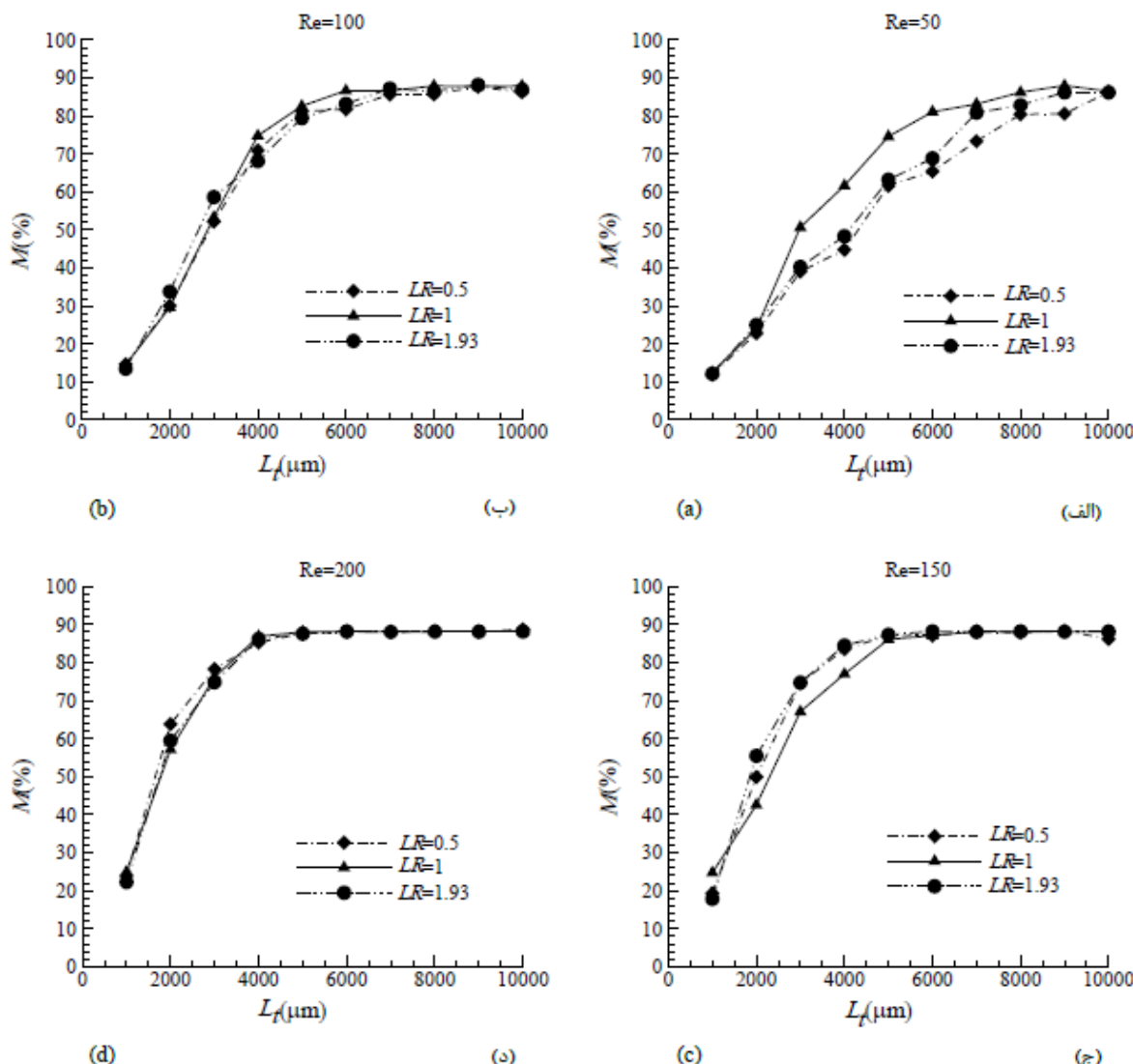


Fig. 12 Mixing index as a function of the total length of flow path (L_f) in L-micromixers with different length ratio (LR): a) $Re=50$, b) $Re=100$, c) $Re=150$, and d) $Re=200$.

شکل 12 شاخص اختلاط به صورت تابعی از طول کلی مسیر جریان (L_f) در L میکرومیکسرهای با نسبت طول (LR) مختلف: الف- $Re=50$ ، ب- $Re=100$ ، ج- $Re=150$ و د- $Re=200$

5- نتیجه‌گیری

نتایج حاصل از مطالعه اثر پارامترهای طراحی طول نرمال (ZR), نسبت طول (LR) و نسبت ابعاد (AR) بر مشخصه‌های افت فشار و شاخص اختلاط در یک میکروکanal مارپیچ سه بعدی با واحدهای تکرارشونده L شکل می‌تواند راهنمایی‌هایی را در زمینه انتخاب طرح مناسب میکرومیکسر در اختیار مهندسان قرار دهد. وجود تغییر جهت‌های جریان در میکروکanal ساختار جریان عرضی و شاخص اختلاط در مقاطع کanal اختلاط را تحت تأثیر قرار می‌دهد. افزایش عدد رینولدز سبب افزایش شاخص اختلاط در میکروکanal می‌شود و میزان اختلاط به مقدار پارامترهای هندسی بستگی دارد. عملکرد L میکرومیکسر با افزایش طول نرمال و در نتیجه آن افزایش تعداد زانویهای میکروکanal بهبود یافته است. در $Re=200$ طول کلی مسیر جریان 8000 میکرومتر در دو میکروکanal با 2 و 4 واحد سازنده و همچنین طول کلی مسیر جریان 5000 میکرومتر در دو میکروکanal با 8 و 10 واحد سازنده برای دستیابی به بیشترین مقدار شاخص اختلاط ممکن کفايت می‌کند. زمانی که طول شاخه‌های واحدهای L شکل میکروکanal در اعداد

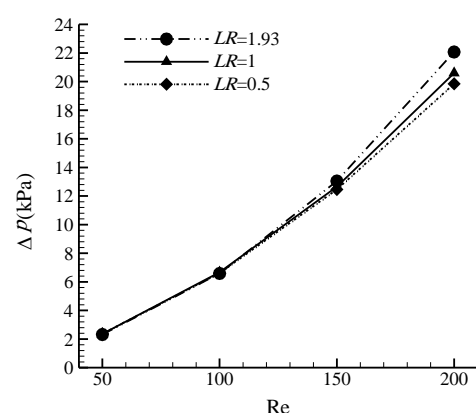


Fig. 13 افت فشار نسبت به عدد رینولدز در L میکرومیکسرهای با نسبت طول (LR) مختلف

شکل 13 افت فشار نسبت به عدد رینولدز در L میکرومیکسرهای با نسبت طول (LR) مختلف

رینولز پایین ($Re=50$) با هم برابر باشند، اختلاط در امتداد کanal بهتر صورت می‌گیرد و در اعداد رینولز بالا تغییرات نسبت طول میکروکanal تأثیر چندانی بر عملکرد اختلاط نمی‌گذارد. تغییر نسبت طول در اعداد رینولز بررسی شده تأثیری بر مقدار شاخص اختلاط در مقطع خروجی میکروکanal نداشته است. تعداد 6، 7 و 5 واحد L شکل برای دستیابی به بیشترین مقدار شاخص اختلاط ممکن به ترتیب به ازای اعداد رینولز 100، 150 و 200 در میکروکanalهایی با نسبت طول و نسبت ابعاد مختلف کفایت می‌کند. اختلاط در نواحی ابتدایی میکروکanal با نسبت ابعاد 0.5 در اعداد رینولز بالاتر از $Re=50$ به دلیل نسبت سطح به حجم بیشتر کanal اختلاط بهتر انجام شده است که با پیشروعی در کanal اختلاط هر سه هندسه عملکرد یکسانی داشته‌اند. به طور کلی اثرات گریز از مرکزی روی سیال در تمام میکروکanalهای بررسی شده با افزایش سرعت جریان بیشتر شده و شدت جابه‌جایی نامنظم در میکرومیکسرها و مقدار شاخص اختلاط در امتداد کanal اختلاط افزایش یافته است. مشخصه افت فشار در کanal مارپیچ تحت تأثیر تغییرات پارامترهای هندسی قرار دارد. در اعداد رینولز پایین، تغییرات پارامترهای هندسی بی‌بعد اثرات ناچیزی بر افت فشار داشته، در حالی که اثرات پارامترهای هندسی بی‌بعد در اعداد رینولز بالاتر بر افت فشار قابل توجه است. افزایش دو پارامتر هندسی طول نرمال و نسبت طول و کاهش

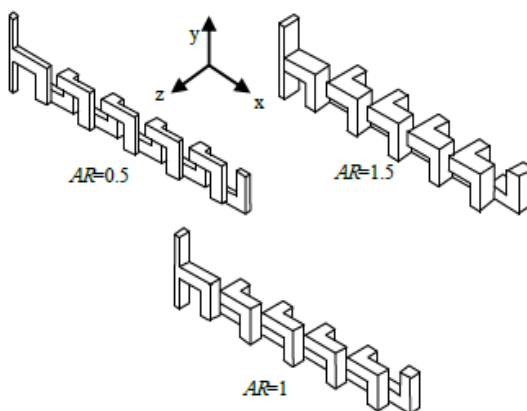


Fig. 15 View of microchannels with different aspect ratio (AR)
شکل ۱۵ نمای میکروکanalهای با نسبت ابعاد (AR) مختلف

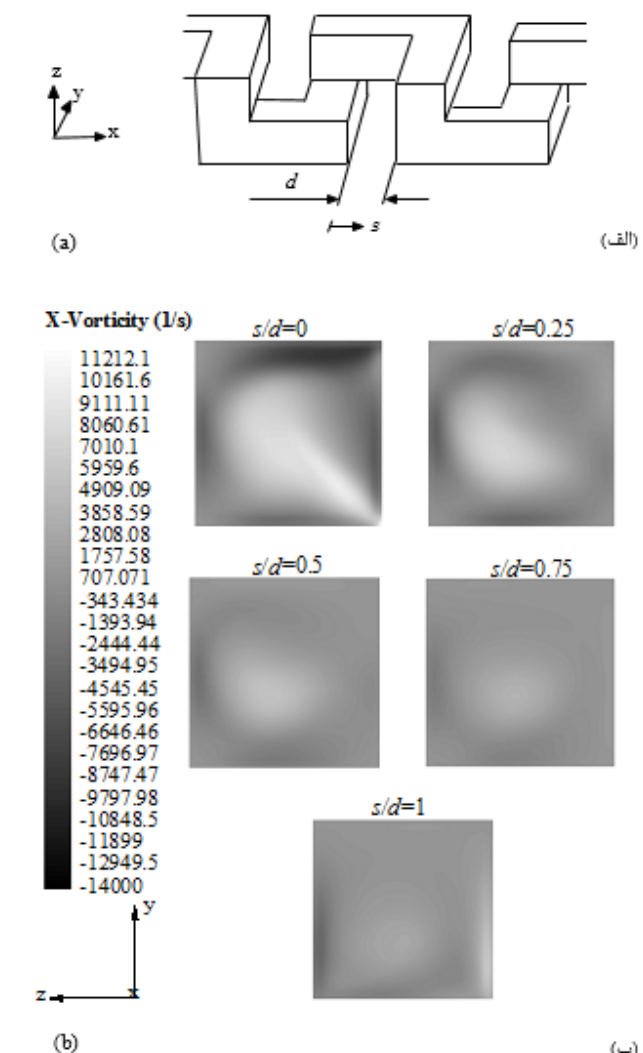
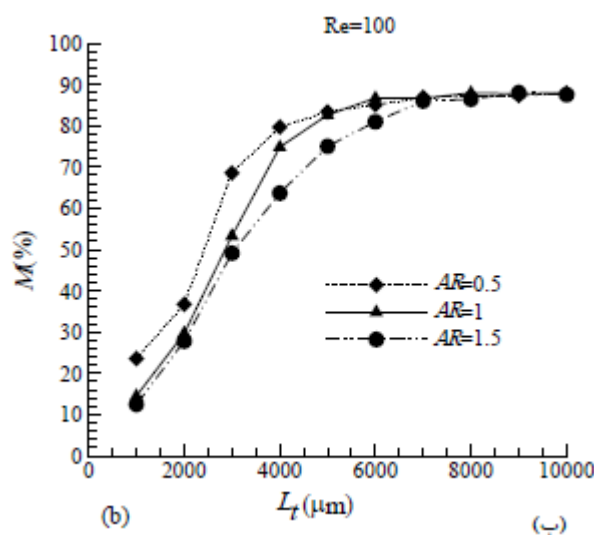
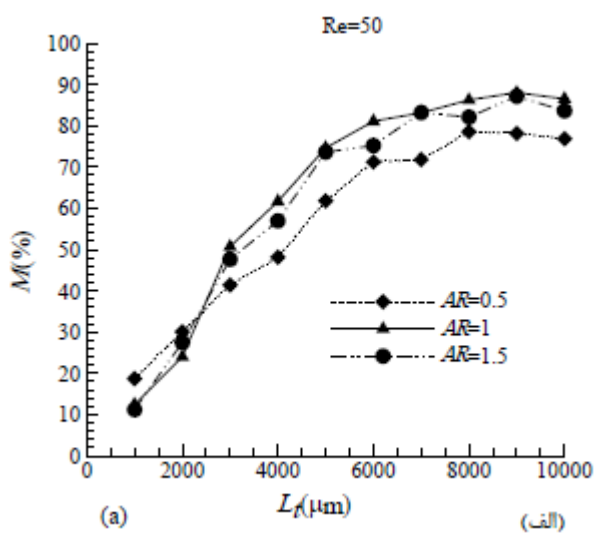


Fig. 14 (a) Definition of two characteristics d and s in L-micromixer, (b) x-vorticity (ω_x) distribution in cross sections parallel with yz plane in third L-shaped unit of microchannel ($LR=0.5$, $AR=1$ and $ZR=0.5$) at $Re=50$

شکل ۱۴ الف- تعریف دو مشخصه d و s در L-میکرومیکسر، ب- توزیع مؤلفه x ورتبه‌سیته (ω_x) در مقاطع عرضی موازی با صفحه yz در سومین واحد L شکل میکروکanal (ZR=0.5, AR=1, LR=0.5) در $Re=50$



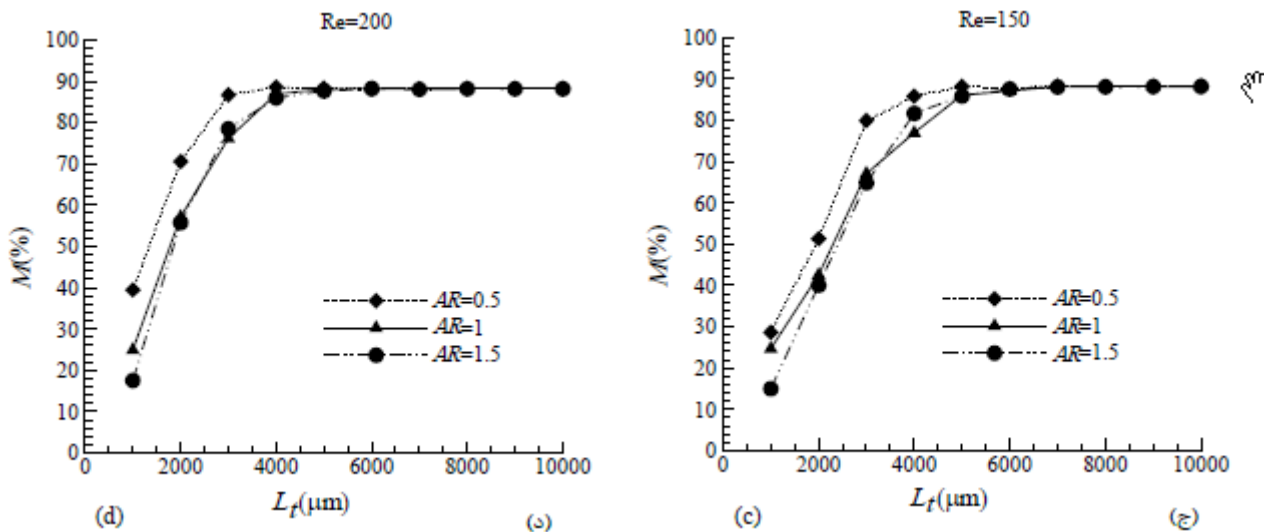


Fig. 16 Mixing index as a function of the total length of flow path (L_f) in L-micromixers with different aspect ratio (AR): a) Re=50, b) Re=100, c- Re=150, and -d- Re=200.

شکل ۱۶ ساختار اختلاط به صورت تابعی از طول کلی مسیر جریان (L_f) در L-میکرومیکسرهای با نسبت ابعاد (AR) مختلف: الف- Re=50، ب- Re=100، ج- Re=150، د- Re=200

6- مراجع

- [1] N. T. Nguyen, *Micromixers: Fundamentals, Design and Fabrication (Micro & nano technologies)*, pp. 1-4, Norwich, New York: William Andrew, 2008.
- [2] E. L. Paul, V. A. Atiemo-Obeng, S. M. Kresta, *Handbook of industrial mixing: science and practice*, pp. 20-24, Hoboken, New Jersey: John Wiley & Sons, 2004.
- [3] N. T. Nguyen, Z. Wu, Micromixers—a review, *Micromechanics and Microengineering*, Vol. 15, No. 2, pp. R1, 2004.
- [4] M. A. Teamah, M. K. Dawood, W. M. El-Maghly, Double diffusive natural convection in a square cavity with segmental heat sources, *Scientific Research*, Vol. 54, No. 2, pp. 287-301, 2011.
- [5] R. H. Liu, M. A. Stremler, K. V. Sharp, M. G. Olsen, J. G. Santiago, R. J. Adrian, H. Aref, D. J. Beebe, Passive mixing in a three-dimensional serpentine microchannel, *Microelectromechanical Systems*, Vol. 9, No. 2, pp. 190-197, 2000.
- [6] A. G. Kanaris, I. A. Stogiannis, A. A. Mouza, S. G. Kandlikar, Comparing the mixing performance of common types of chaotic micromixers: A numerical study, *Heat Transfer Engineering*, Vol. 36, No. 13, pp. 1122-1131, 2015.
- [7] A. Afzal, K.-Y. Kim, Passive split and recombination micromixer with convergent-divergent walls, *Chemical Engineering*, Vol. 203, No. 1, pp. 182-192, 2012.
- [8] L. Wang, W. Wu, X. Li, Numerical and experimental investigation of mixing characteristics in the constructal tree-shaped microchannel, *Heat and Mass Transfer*, Vol. 67, No. 1, pp. 1014-1023, 2013.
- [9] N. Solehati, J. Bae, A. P. Sasmito, Numerical investigation of mixing performance in microchannel T-junction with wavy structure, *Computers & Fluids*, Vol. 96, No. 1, pp. 10-19, 2014.
- [10] S. Baheri Islami, S. Ahmadi, Numerical investigation on the effect of various geometries on mixing efficiency of passive micromixers with oscillatory inlet velocities, *Modares Mechanical Engineering*, Vol. 14, No. 7, pp. 27-34, 2014. (in Persian) (فارسی)
- [11] R. Shamsoddini, M. Sefid, R. Fatehi, Numerical investigation of the mixing performance of two-blade twin and circular mixers by using an improved Weakly Compressible Smoothed Particle Hydrodynamics, *Modares Mechanical Engineering*, Vol. 14, No. 11, 2015. (in Persian) (فارسی)
- [12] S. Ghanbari, M. Sefid, R. Shamsoddini, Numerical Analysis of two-fluid mixing with various Density and Viscosity in a microchannel with forced oscillating stirrer, *Modares Mechanical Engineering*, Vol. 16, No. 8, pp. 109-119, 2016. (in Persian) (فارسی)
- [13] R. A. Vijayendran, K. M. Motsegood, D. J. Beebe, D. E. Leckband, Evaluation of a three-dimensional micromixer in a surface-based biosensor, *Langmuir*, Vol. 19, No. 5, pp. 1824-1828, 2003.
- [14] Y. Lin, Numerical characterization of simple three-dimensional chaotic micromixers, *Chemical Engineering*, Vol. 277, No. 1, pp. 303-311, 2015.
- [15] C. M. Karst, B. D. Storey, J. B. Geddes, Laminar flow of two miscible fluids in a simple network, *Physics of Fluids (1994-present)*, Vol. 25, No. 3, pp. 033601, 2013.
- [16] A. Soleymani, E. Kolehmainen, I. Turunen, Numerical and experimental investigations of liquid mixing in T-type micromixers, *Chemical engineering*, Vol. 135, No. 1, pp. S219-S228, and 2008.

پارامتر نسبت ابعاد در یک عدد رینولدز مشخص سبب افزایش افت فشار شده است. همان‌طور که پیشتر اشاره شد از دو سیال آب و اتانول در فرآیند اختلاط استفاده شده است. اختلاط سیالات با اختلاف سیالات در چگالی رفتارهای متفاوتی با عبور از زانویی‌ها در کانال مارپیچ به دلیل اختلاف در نیروی اینرسی از خود نشان می‌دهند، اما به طور کلی انتظار می‌رود که تغییر خواص دو سیال ورودی به میکروکانال، اثر تغییرات پارامترهای هندسی میکرومیکسر بر عملکرد اختلاط بالاتر در این میکروکانال‌ها می‌تواند عدم دستیابی به مقدار شاخص اختلاط بالاتر در تأثیر قرار نمی‌دهد. دلیل هندسه متناسب کانال باشد؛ به این صورت که میکرومیکسر از مقطع مشخصی در کانال قادر به بهبود فرآیند اختلاط نخواهد بود. این امکان وجود دارد که با تغییر هندسه میکروکانال به یک طرح نامتناسب و قرار دادن واحدهای L شکل با پارامترهای هندسی مختلف در کنار یکدیگر بیشترین مقدار شاخص اختلاط افزایش یابد.

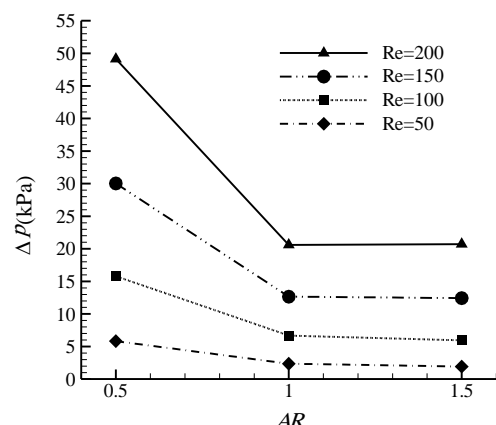


Fig. 17 افت فشار نسبت به عدد رینولدز در L-میکرومیکسرهای با نسبت ابعاد (AR) مختلف

- B: Chemical, Vol. 176, No. 1, pp. 639-652, 2013.
- [22] V. Kumar, M. Paraschivoiu, K. Nigam, Single-phase fluid flow and mixing in microchannels, *Chemical Engineering Science*, Vol. 66, No. 7, pp. 1329-1373, 2011.
- [23] S. G. Kandlikar, High flux heat removal with microchannels—a roadmap of challenges and opportunities, *Heat Transfer Engineering*, Vol. 26, No. 8, pp. 5-14, 2005.
- [24] B. R. Munson, D. F. Young, T. H. Okiishi, W. W. Huebsch, *Fundamentals of Fluid Mechanics*, Sixth Edition, PP. 265-269, New York:Wiley, 2009.
- [25] A. Alam, K.-Y. Kim, Analysis of mixing in a curved microchannel with rectangular grooves, *Chemical Engineering*, Vol. 181, No. 1, pp. 708-716, 2012.
- [26] A. P. Sudarsan, V. M. Ugaz, Fluid mixing in planar spiral microchannels, *Lab on a Chip*, Vol. 6, No. 1, pp. 74-82, 2006.
- [17] S. Hardt, F. Schönfeld, Laminar mixing in different interdigital micromixers: II. Numerical simulations, *AIChE Journal*, Vol. 49, No. 3, pp. 578-584, 2003.
- [18] C. Galletti, M. Roudgar, E. Brunazzi, R. Mauri, Effect of inlet conditions on the engulfment pattern in a T-shaped micro-mixer, *Chemical Engineering Journal*, Vol. 185, No. 1, pp. 300-313, 2012.
- [19] S. Wiggins, J. M. Ottino, Foundations of chaotic mixing, *Philosophical Transactions of the Royal Society of London A: Mathematical, Physical and Engineering Sciences*, Vol. 362, No. 1818, pp. 937-970, 2004.
- [20] S. Hossain, M. Ansari, K. Y. Kim, Evaluation of the mixing performance of three passive micromixers, *Chemical Engineering*, Vol. 150, No. 2, pp. 492-501, 2009.
- [21] A. Alam, K. Y. Kim, Mixing performance of a planar micromixer with circular chambers and crossing constriction channels, *Sensors and Actuators*